

Физическая химия

УДК 544.022+546.185+547.53.024+548.312.5

DOI: 10.14529/chem200405

СТРОЕНИЕ СУРЬМАОРГАНИЧЕСКИХ СОЕДИНЕНИЙ [C₅H₄Mn(CO)₃]₃Sb, (4-Me₂NC₆H₄)₃SbI₂, Ph₃Sb[OC(O)C₆H₃(NO₂)₂-3,5]₂, (3-MeC₆H₄)₃Sb[OC(O)C₆H₃(NO₂)₂-3,5]₂·PhH и (3-FC₆H₄)₃Sb[OC(O)C₆H₃(NO₂)₂-3,5]₂·PhH

В.В. Шарутин

Южно-Уральский государственный университет, г. Челябинск, Россия

Методом рентгеноструктурного анализа (РСА) определено строение пяти органических соединений сурьмы [C₅H₄Mn(CO)₃]Sb (1), (4-Me₂NC₆H₄)₃SbI₂ (2), Ph₃Sb[OC(O)C₆H₃(NO₂)₂-3,5]₂ (3), (3-MeC₆H₄)₃Sb[OC(O)C₆H₃(NO₂)₂-3,5]₂·PhH (4) и (3-FC₆H₄)₃Sb[OC(O)C₆H₃(NO₂)₂-3,5]₂·PhH (5). РСА соединений проводили на автоматическом четырехкружном дифрактометре D8 Quest Bruker (MoK_α-излучение, $\lambda = 0,71073 \text{ \AA}$, графитовый монохроматор) при 293 К. Соединение [C₅H₄Mn(CO)₃]Sb (1), размер кристалла $0,53 \times 0,4 \times 0,22 \text{ mm}$, R -3, $a = 19,221(6)$, $b = 19,221(6)$, $c = 11,935(4) \text{ \AA}$, $\alpha = 90,00$, $\beta = 90,00$, $\gamma = 120,00$ град., $V = 3818,6(17) \text{ \AA}^3$, $Z = 2$, $R_1 = 0,0484$, $wR_2 = 0,0900$. (4-Me₂NC₆H₄)₃SbI₂ (2), размер кристалла $0,26 \times 0,19 \times 0,16 \text{ mm}$, Ia -3, $a = 22,238(13)$, $b = 22,238(13)$, $c = 22,238(13) \text{ \AA}$, $\alpha = 90,00$, $\beta = 90,00$, $\gamma = 90,00$ град., $V = 10997(19) \text{ \AA}^3$, $Z = 48$, $R_1 = 0,0372$, $wR_2 = 0,0855$. Ph₃Sb[OC(O)C₆H₃(NO₂)₂-3,5]₂ (3), размер кристалла $0,39 \times 0,29 \times 0,19 \text{ mm}$, P -1, $a = 11,985(8)$, $b = 12,186(7)$, $c = 14,292(10) \text{ \AA}$, $\alpha = 72,30(3)$, $\beta = 69,64(3)$, $\gamma = 61,79(3)$ град., $V = 1699,8(19) \text{ \AA}^3$, $Z = 2$, $R_1 = 0,0388$, $wR_2 = 0,1246$. (3-MeC₆H₄)₃Sb[OC(O)C₆H₃(NO₂)₂-3,5]₂·PhH (4), размер кристалла $0,2 \times 0,17 \times 0,07 \text{ mm}$, P -1, $a = 12,654(8)$, $b = 13,217(9)$, $c = 14,672(13) \text{ \AA}$, $\alpha = 64,42(3)$, $\beta = 79,73(3)$, $\gamma = 65,66(2)$ град., $V = 2017(3) \text{ \AA}^3$, $Z = 2$, $R_1 = 0,0350$, $wR_2 = 0,0870$. (3-FC₆H₄)₃Sb[OC(O)C₆H₃(NO₂)₂-3,5]₂·PhH (5), размер кристалла $0,55 \times 0,4 \times 0,19 \text{ mm}$, P -1, $a = 12,34(3)$, $b = 12,95(2)$, $c = 14,41(2) \text{ \AA}$, $\alpha = 81,73(6)$, $\beta = 66,94(10)$, $\gamma = 66,31(7)$ град., $V = 1940(6) \text{ \AA}^3$, $Z = 2$, $R_1 = 0,0721$, $wR_2 = 0,1558$.

Ключевые слова: строение, органический, соединение, сурьма, рентгеноструктурный анализ.

При исследовании состава продуктов реакций органических соединений элементов в лаборатории химии элементоорганических соединений Южно-Уральского государственного университета широко используется метод рентгеноструктурного анализа, с помощью которого исследуется строение органических производных элементов. В настоящей работе определено строение пяти неизвестных ранее соединений сурьмы [C₅H₄Mn(CO)₃]Sb (1), (4-Me₂NC₆H₄)₃SbI₂ (2), Ph₃Sb[OC(O)C₆H₃(NO₂)₂-3,5]₂ (3), (3-MeC₆H₄)₃Sb[OC(O)C₆H₃(NO₂)₂-3,5]₂·PhH (4), (3-FC₆H₄)₃Sb[OC(O)C₆H₃(NO₂)₂-3,5]₂·PhH (5), полученных методами классической химии элементоорганических соединений [1], охарактеризованных также элементным анализом.

Экспериментальная часть

Рентгеноструктурный анализ кристаллов соединений 1–5 проводили на дифрактометре D8 Quest фирмы Bruker (MoK_α-излучение, $\lambda = 0,71073 \text{ \AA}$, графитовый монохроматор) при 293 К. Сбор, редактирование данных и уточнение параметров элементарной ячейки, а также учет поглощения проведены по программам SMART и SAINT-Plus [2]. Все расчеты по определению и уточнению структуры выполнены по программам SHELXL/PC [3] и OLEX2 [4]. Структуры определены прямым методом и уточнены методом наименьших квадратов в анизотропном приближении для неводородных атомов. Основные кристаллографические данные и результаты уточнения структур 1–4 приведены в табл. 1, основные длины связей и валентные углы – в табл. 2.

Физическая химия

Таблица 1
Кристаллографические данные, параметры эксперимента и уточнения структур 1–5

Параметр	Значение				
	1	2	3	4	5
Формула	C ₂₄ H ₁₂ O ₉ Mn ₃ Sb	C ₂₄ H ₃₀ I ₂ N ₃ Sb	C ₃₂ H ₂₁ N ₄ O ₁₂ Sb	C ₄₁ H ₃₃ N ₄ O ₁₂ Sb	C ₃₈ H ₂₄ O ₁₂ F ₃ SbN ₄
<i>M</i>	730,92	736,07	775,28	895,46	907,36
Сингония	Тригональная	Кубическая	Триклиновая	Триклиновая	Триклиновая
Пр. группа	<i>R</i> -3	<i>Ia</i> -3	<i>P</i> -1	<i>P</i> -1	<i>P</i> -1
Параметры решетки:					
<i>a</i> , Å	19,221(6)	22,238(13)	11,985(8)	12,654(8)	12,34(3)
<i>b</i> , Å	19,221	22,238	12,186(7)	13,217(9)	12,95(2)
<i>c</i> , Å	11,935(4)	22,238	14,292(10)	14,672(13)	14,41(2)
α, град.	90,00	90,00	72,30(3)	64,42(3)	81,73(6)
β, град.	90,00	90,00	69,64(3)	79,73(3)	66,94(10)
γ, град.	120,00	90,00	61,79(3)	65,66(2)	66,31(7)
<i>V</i> , Å ³	3818,6(17)	10997(19)	1699,8(19)	2017(3)	1940(6)
<i>Z</i>	2	48	2	2	2
ρ(выч.), г/см ³	0,636	1,778	1,515	1,475	1,553
μ _{Mo} , мм ⁻¹	0,851	3,264	0,879	0,752	0,793
<i>F</i> (000)	708,0	5632,0	776,0	908,0	908,0
Размер кристалла, мм	0,53×0,4×0,22	0,26×0,19×0,16	0,39×0,29×0,19	0,2×0,17×0,07	0,55×0,4×0,19
2θ, град.	5,96 – 82,68	6,346 – 54,894	6,16 – 48,36	6 – 45,66	6,1 – 40,08
Интервалы индексов отражений	–35 ≤ <i>h</i> ≤ 32, –35 ≤ <i>k</i> ≤ 35, –22 ≤ <i>l</i> ≤ 22	–28 ≤ <i>h</i> ≤ 28, –28 ≤ <i>k</i> ≤ 28, –28 ≤ <i>l</i> ≤ 28	–13 ≤ <i>h</i> ≤ 13, –14 ≤ <i>k</i> ≤ 14, –16 ≤ <i>l</i> ≤ 16	–13 ≤ <i>h</i> ≤ 13, –14 ≤ <i>k</i> ≤ 14, –15 ≤ <i>l</i> ≤ 15	–11 ≤ <i>h</i> ≤ 11, –12 ≤ <i>k</i> ≤ 12, –13 ≤ <i>l</i> ≤ 13
Всего отражений	31431	85005	29826	30349	10483
Независимых отражений	5658 (<i>R</i> _{int} = 0,0387)	2098 (<i>R</i> _{int} = 0,0610)	5408 (<i>R</i> _{int} = 0,0238)	5429 (<i>R</i> _{int} = 0,0428)	3500 (<i>R</i> _{int} = 0,0304)
Число отражений с <i>F</i> ² > 2σ(<i>F</i> ²)	3576	1529	4970	4637	2945
Число уточняемых параметров	112	123	442	526	523
<i>GOOF</i>	1,051	1,133	1,135	1,038	1,148
<i>R</i> -факторы по <i>F</i> ² > 2σ(<i>F</i> ²)	<i>R</i> ₁ = 0,0484, <i>wR</i> ₂ = 0,0900	<i>R</i> ₁ = 0,0372, <i>wR</i> ₂ = 0,0855	<i>R</i> ₁ = 0,0388, <i>wR</i> ₂ = 0,1246	<i>R</i> ₁ = 0,0350, <i>wR</i> ₂ = 0,0870	<i>R</i> ₁ = 0,0721, <i>wR</i> ₂ = 0,1558
<i>R</i> -факторы по всем отражениям	<i>R</i> ₁ = 0,0975, <i>wR</i> ₂ = 0,1037	<i>R</i> ₁ = 0,0600, <i>wR</i> ₂ = 0,1046	<i>R</i> ₁ = 0,0423, <i>wR</i> ₂ = 0,1285	<i>R</i> ₁ = 0,0465, <i>wR</i> ₂ = 0,0933	<i>R</i> ₁ = 0,0896, <i>wR</i> ₂ = 0,1706
Остаточная электронная плотность (max/min), e/Å ³	0,57/–0,88	0,49/–0,65	1,80/–0,36	1,48/–0,39	1,62/–0,47

Таблица 2
Основные длины связей и валентные углы в структурах 1–5

Связь	Длина, Å	Угол	ω, град
1			
Sb(1)–C(1 ¹)	2,1464(19)	C(1 ¹)Sb(1)C(1 ²)	94,34(7)
Sb(1)–C(1 ²)	2,1464(19)	C(1 ²)Sb(1)C(1)	94,34(7)
Sb(1)–C(1)	2,146(2)	C(1 ¹)Sb(1)C(1)	94,34(7)
Mn(1)–C(1)	2,1410(19)	C(1)Mn(1)C(3)	65,08(9)
Mn(1)–C(2)	2,126(2)	C(2)Mn(1)C(1)	38,67(8)
Преобразования симметрии: 1 – <i>y</i> , 1+ <i>x</i> – <i>y</i> , + <i>z</i> , 2 – + <i>y</i> – <i>x</i> , 1– <i>x</i> , + <i>z</i>			
2			
Sb(1)–I(1)	2,8842(10)	I(1)Sb(1)I(2)	180,00(3)
Sb(1)–I(2)	2,8919(10)	C(1A ¹)Sb(1)I1	95,0(7)
Sb(1)–C(1A)	2,03(4)	C(1A ²)Sb(1)I1	95,0(7)
Sb(1)–C(1A ¹)	2,03(4)	C(1A)Sb(1)I1	95,0(7)
Sb(1)–C(1A ²)	2,03(4)	C(1A ¹)Sb(1)I2	85,0(7)
Sb(1)–C(1B ²)	2,19(5)	C(1A ²)Sb(1)I2	85,0(7)
Sb(1)–C(1B)	2,19(5)	C(1A)Sb(1)I2	85,0(7)
Sb(1)–C(1B ¹)	2,19(5)	C(1A ¹)Sb(1)C1A ²	119,3(2)

Окончание табл. 2

Связь	Длина, Å	Угол	ω, град
Преобразования симметрии: ¹ +y, +z, +x; ² +z, +x, +y			
3			
Sb(1)–O(1)	2,156(3)	C(21)Sb(1)O(2)	88,79(15)
Sb(1)–C(21)	2,116(4)	C(21)Sb(1)O(1)	89,54(15)
Sb(1)–C(1)	2,109(4)	C(1)Sb(1)O(2)	86,88(15)
Sb(1)–C(11)	2,108(5)	C(1)Sb(1)O(1)	88,64(16)
O(2)–C(47)	1,303(5)	C(1)Sb(1)C(21)	113,34(17)
O(1)–C(37)	1,300(6)	C(11)Sb(1)O(2)	90,28(15)
O(4)–C(47)	1,223(6)	C(11)Sb(1)O(1)	94,75(15)
O(3)–C(37)	1,226(6)	C(11)Sb(1)C(21)	137,01(17)
O(7)–N(1)	1,212(6)	C(11)Sb(1)C(1)	109,52(17)
4			
Sb(1)–O(7)	2,144(3)	O(1)Sb(1)O(7)	177,62(11)
Sb(1)–O(1)	2,127(3)	C(1)Sb(1)O(7)	89,68(13)
Sb(1)–C(1)	2,124(4)	C(1)Sb(1)O(1)	88,47(13)
Sb(1)–C(21)	2,099(5)	C(21)Sb(1)O(7)	89,24(15)
Sb(1)–C(11)	2,102(5)	C(21)Sb(1)O(1)	89,98(15)
O(7)–C(47)	1,299(5)	C(21)Sb(1)C(1)	110,04(17)
O(8)–C(47)	1,226(5)	C(21)Sb(1)C(11)	143,2(2)
O(11)–N(4)	1,207(5)	C(11)Sb(1)O(7)	90,14(15)
O(10)–N(3)	1,210(5)	C(11)Sb(1)O(1)	91,82(15)
5			
Sb(1)–O(3)	2,133(8)	O(3)Sb(1)O(1)	176,3(3)
Sb(1)–O(1)	2,142(8)	O(3)Sb(1)C(1)	88,0(4)
Sb(1)–C(21)	2,107(13)	C(21)Sb(1)O(3)	90,1(4)
Sb(1)–C(11)	2,099(12)	C(21)Sb(1)O(1)	91,0(4)
Sb(1)–C(1)	2,135(11)	C(21)Sb(1)C(1)	110,0(5)
O(3)–C(47)	1,306(13)	C(11)Sb(1)O(3)	90,5(4)
O(1)–C(37)	1,303(14)	C(11)Sb(1)O(1)	90,7(4)
O(4)–C(47)	1,204(14)	C(11)Sb(1)C(21)	141,8(5)
O(2)–C(37)	1,206(14)	C(11)Sb(1)C(1)	108,2(5)
O(12)–N(4)	1,209(14)	C(1)Sb(1)O(1)	88,3(4)

Полные таблицы координат атомов, длин связей и валентных углов депонированы в Кембриджском банке структурных данных (№ 1985274 (**1**), 1990697 (**2**), 1913590 (**3**), 1974359 (**4**), 1957180 (**5**); deposit@ccdc.cam.ac.uk; <http://www.ccdc.cam.ac.uk>).

Обсуждение результатов

Соединения сурьмы с элементоорганическими заместителями представлены в литературе единичными примерами [5–8]. Известны сурьмаорганические производные с цимантренильными группами $[C_5H_4Mn(CO)_3]SbHal_2$ ($Hal = Cl, Br$), полученные окислением трицимантренильсурьмы дигалогенилом меди [5, 6] или галогеном [8]. Однако исследование кристаллической структуры трицимантренильсурьмы (**1**) ранее не проводилось.

Одними из наименее изученных производных пятивалентной сурьмы являются дигалогенидытриарилсурьмы: дифториды [9–11], дихлориды [12–21], дибромиды [13, 15, 22–26] и диодиоды [22, 26–28]. Известно, что триорганилсурьма окисляется иодом до дииодидатриорганил сурьмы [29], поэтому в продолжение исследования окислительного метода синтеза дигалогенидовтриарилсурьмы [5, 8, 30] была изучена реакция *tris*(4-диметиламинофенил)сурьмы с иодом в бензole, протекающая с образованием дииодида *tris*(4-диметиламинофенил)сурьмы(4-Me₂NC₆H₄)₃SbI₂ (**2**).

В основе одного из эффективных способов синтеза соединений пятивалентной сурьмы лежит реакция окислительного присоединения, когда из триарильных соединений сурьмы, кислоты НХ

Физическая химия

и пероксида получают арильные производные пятивалентной сурьмы Ar_3SbX_2 . Указанная реакция впервые была осуществлена на примере синтеза диацетататрифенил сурьмы из трифенилсурьмы, уксусной кислоты и пероксида водорода [31]. Именно по этой схеме были синтезированы дикарбоксилаты трифенилсурьмы [32–34], три-*мета*-толилсурьмы [35], дикарбоксилаты *tris*-(5-бром-2-метоксифенил)сурьмы [36–39], *tris*-(4-N,N-диметиламинофенил)сурьмы [8, 40, 41]. Отметим, что, несмотря на наличие двух карбоксильных групп в *ортого*-фталевой кислоте, ее взаимодействие с трифенилсурьмой в присутствии пероксида водорода протекает по классической схеме реакции окислительного присоединения [42]. Эффективным методом можно считать способ синтеза, основанный на взаимодействии триарилсурьмы с гидропероксидами в присутствии карбоновой кислоты. Взаимодействие триарилсурьмы с карбоновыми кислотами в эфире в присутствии *трет*-бутилгидропероксида приводит к образованию дикарбоксилатов трифенилсурьмы [43–47], *tris*-(4-фторфенил)сурьмы [48–50], *tris*-(3-фторфенил)сурьмы [51, 52]. В продолжение исследования реакций окислительного присоединения проведены реакции трифенилсурьмы, *tris*(*мета*-толил)сурьмы и *tris*(3-фторфенил)сурьмы с 3,5-динитробензойной кислотой в присутствии *трет*-бутилгидропероксида и исследовано кристаллическое строение образующихся при этом дикарбоксилатов триарилсурьмы $\text{Ar}_3\text{Sb}[\text{OC}(\text{O})\text{C}_6\text{H}_3(\text{NO}_2)_2\text{-3,5}]_2$ ($\text{Ar} = \text{Ph}$ (3), 2-MeO,5-BrC₆H₃ (4), (3-FC₆H₄) (5)).

По данным РСА, молекула соединения 1 имеет конфигурацию тригональной пирамиды (рис. 1). Равенство длин связей Sb–C (2,146(2) Å) и валентных углов CSbC (94,34(7)°) указывает на высокую симметрию молекулы 1. Уменьшение значения валентных углов CSbC от идеальных тетраэдрических углов объясняется наличием неподеленной электронной пары на атоме сурьмы. Цимантренильные лиганды в плоскости *upco*-атомов углерода повернуты в одну сторону на угол 49,49(9)°.

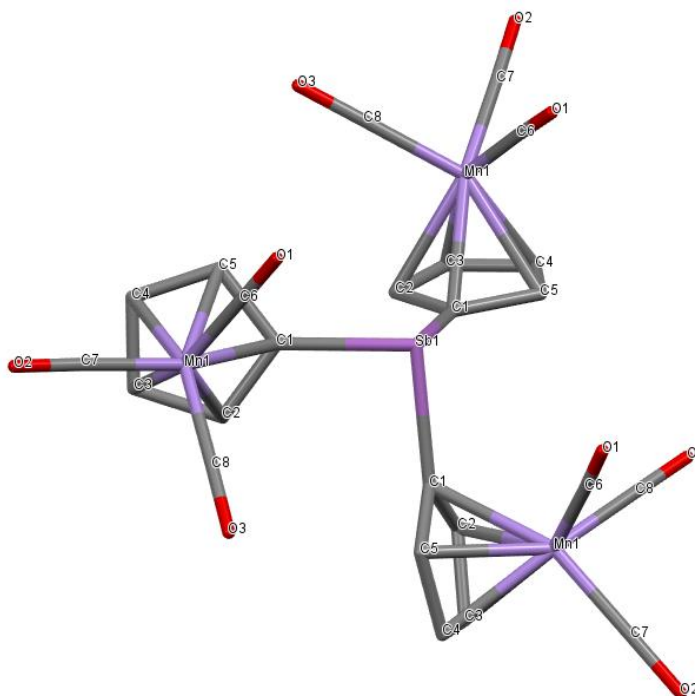
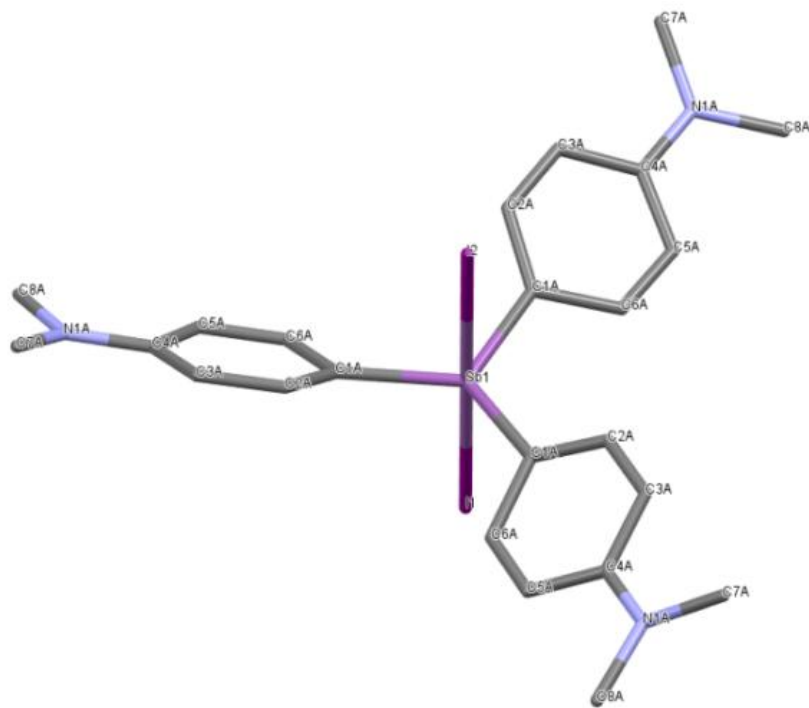


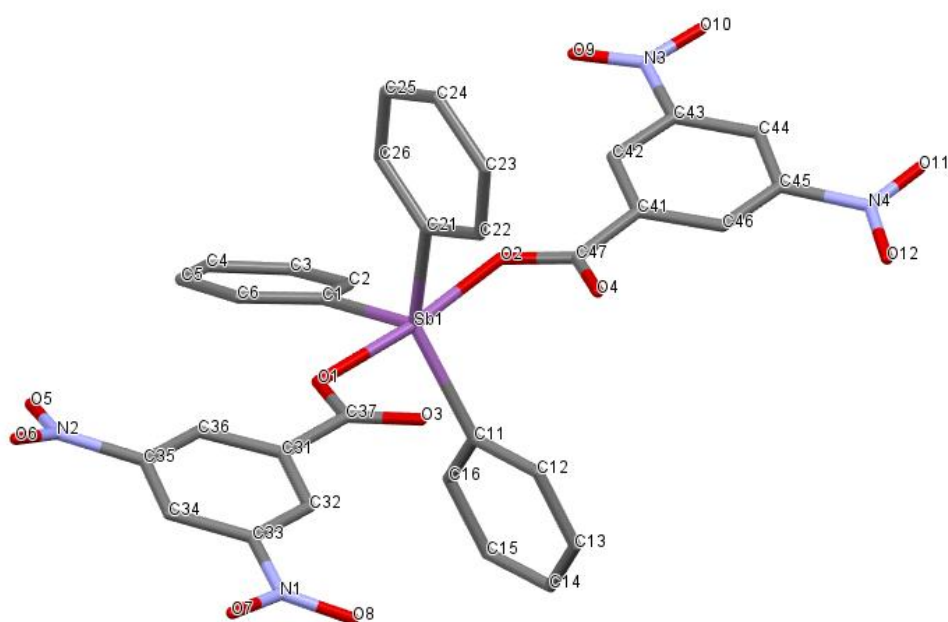
Рис. 1. Строение триимантренилсурьмы (1)
(атомы водорода не показаны)

В кристаллах соединений 2–5 атомы сурьмы имеют координацию тригональной бипирамиды с электроотрицательными атомами X в аксиальных положениях (рис. 2–5). Углы XSbX составляют 180, 174,16(11), 177,62(11) и 176,3(3)° соответственно. Длины связей Sb–C (2,03(4)–2,19(5) Å в 2, 2,108(5)–2,116(4) Å в 3, 2,099(5)–2,124(4) Å в 4 и 2,099(12)–2,135(11) Å в 5) близки по своему значению между собой. Несмотря на схожее строение и общую для комплексов 3–5 триклиновую сингонию, незначительные отличия в их кристаллической структуре имеются. Расстояния Sb–O (2,135(3), 2,156(3) Å в 3, 2,127(3), 2,144(3) Å в 4 и 2,133(8), 2,142(8) Å в 5) близки по своему

значению к сумме ковалентных радиусов сурьмы и кислорода (2,07 Å [53]). В соединениях **3–5** наблюдаются тесные внутримолекулярные контакты между атомом металла и карбонильными атомами кислорода (2,993(3), 2,981(3) Å в **3**, 2,994(3), 2,895(3) Å в **4** и 2,953(8), 2,952(8) Å в **5**), что меньше суммы ван-дер-ваальсовых радиусов указанных атомов (3,70 Å [53]) и характерно для большинства других дикарбоксилатов триарилсурьмы [54].



**Рис. 2. Строение дииодида *tris*(4-диметиламинофенил)сурьмы (2)
(атомы водорода не показаны)**



**Рис. 3. Строение бис(3,5-динитробензоата) трифенилсурьмы (3)
(атомы водорода не показаны)**

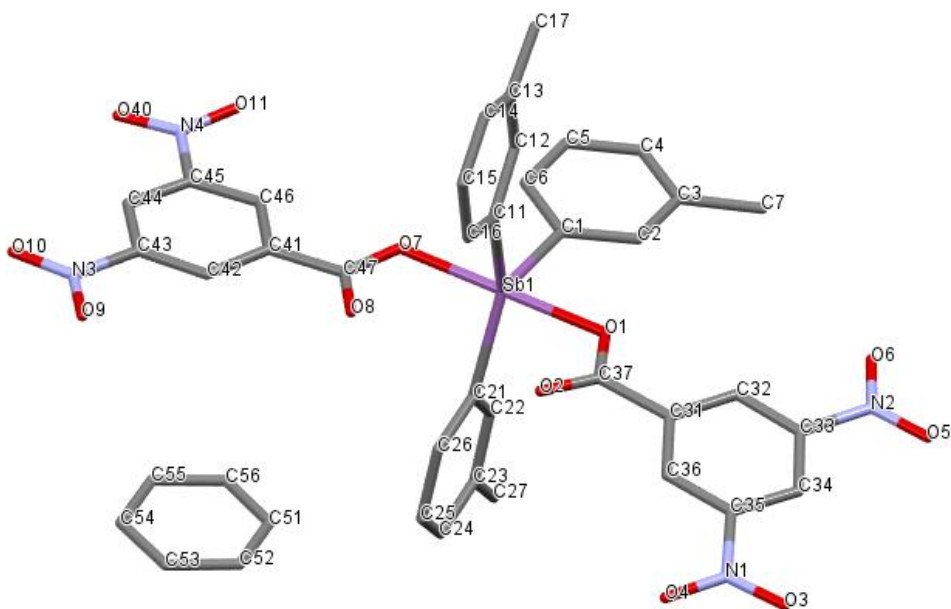


Рис. 4. Строение сольватата бис(3,5-динитробензоата) трис(мета-толил)сурьмы с бензолом (4) (атомы водорода не показаны)

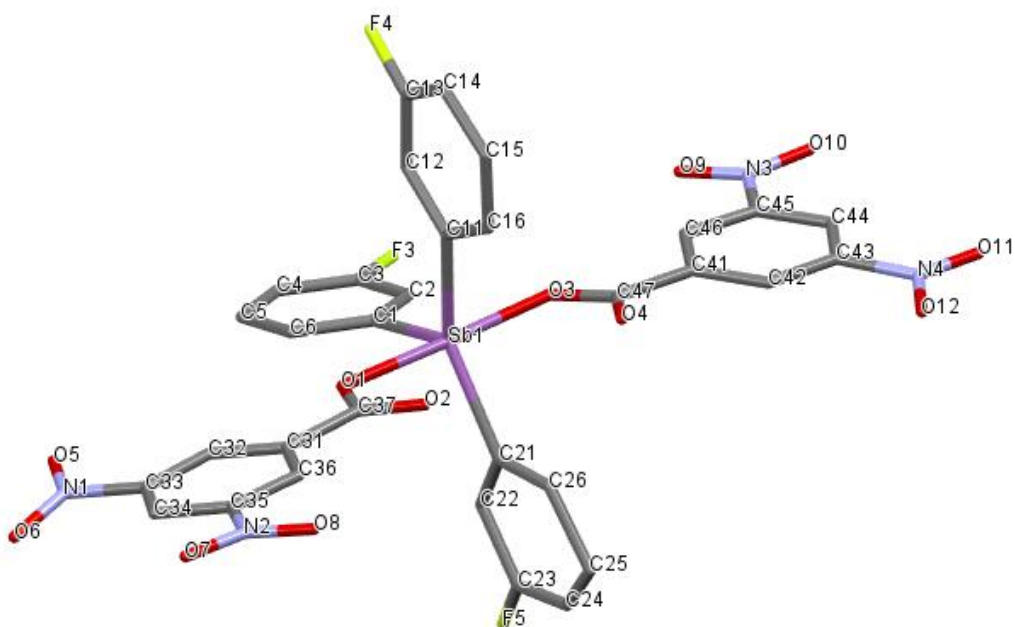


Рис. 5. Строение бис(3,5-динитробензоата) трис(3-фторфенилсурьмы) (5) (атомы водорода и молекула сольватного бензола не показаны)

Выводы

В настоящей работе методом PCA расшифровано строение пяти арильных соединений сурьмы $[C_5H_4Mn(CO)_3]_3Sb$, $(4-Me_2NC_6H_4)_3SbI_2$, $Ph_3Sb[OC(O)C_6H_3(NO_2)_2-3,5]_2$, $(3-MeC_6H_4)_3Sb[OC(O)C_6H_3(NO_2)_2-3,5]_2 \cdot PhH$ и $(3-FC_6H_4)_3Sb[OC(O)C_6H_3(NO_2)_2-3,5]_2 \cdot PhH$.

Литература

1. Шарутин, В.В. Именные реакции в химии элементоорганических соединений / В.В. Шарутин, В.С. Сенчурин. – Челябинск: Изд-во ЮУрГУ, 2011. – 427 с.
2. Bruker. SMART and SAINT-Plus. Versions 5.0. Data Collection and Processing Software for the SMART System. Bruker AXS Inc., Madison, Wisconsin, USA, 1998.

3. Bruker. SHELXTL/PC. Versions 5.10. An Integrated System for Solving, Refining and Displaying Crystal Structures from Diffraction Data. Bruker AXS Inc., Madison, Wisconsin, USA, 1998.
4. OLEX2: a Complete Structure Solution, Refinement and Analysis Program / O.V. Dolomanov, L.J. Bourhis, R.J. Gildea et al. // J. Appl. Cryst. – 2009. – V. 42. – P. 339–341. DOI: 10.1107/S0021889808042726.
5. Сафьянов, Ю.Н. Молекулярная и кристаллическая структура дибромида трицимантренилсурьмы $[C_5H_4Mn(CO)_3]SbBr_2$ / Ю.Н. Сафьянов, Е.А. Кузьмин, В.В. Шарутин // Кристаллография. – 1984. – Т. 29, № 5. – С. 928–930.
6. Реакции трицимантренилсурьмы и трицимантренил висмута с CuX_2 ($X=Cl, Br$) / В.В. Шарутин, В.Т. Бычков, Ю.Н. Сафьянов и др. // Журн. общ. химии. – 1985. – Т. 55, № 7. – С. 1652–1653.
7. Synthesis and Characterization of Neopentyl- and [(Trimethylsilyl)methyl]antimony Compounds. Molecular Structures of $(Me_3CCH_2)_3Sb$, $(Me_3CCH_2)_3SbI_2$, $(Me_3SiCH_2)_3Sb$ and $(Me_3SiCH_2)_3SbI_2$ / D.G. Hendershot, J.C. Pazik, C. George, A.D. Berry // Organometallics. – 1992. – V. 11, № 6. – P. 2163–2168. DOI: 10.1021/om000042a003.
8. Реакции трицимантренилсурьмы с галогенами. Синтез и строение дигидроксида трицимантренилсурьмы / В.В. Шарутин, О.К. Шарутина, В.С. Сенчурина, П.В. Андреев // Журн. общ. химии. – 2018. – Т. 88, № 5. – С. 866–869.
9. Чехлов, А.Н. Кристаллическая структура дифтортрифенилсурьмы с необычными внутримолекулярными водородными связями С–Н…F / А.Н. Чехлов // Докл. АН СССР. – 1993. – Т. 328, № 2. – С. 205–208.
10. Синтез и строение дифторида, дихлорида и дibenzoататрис(4-N,N-диметиламинофенил)сурьмы(V) / В.В. Шарутин, В.С. Сенчурина, О.К. Шарутина и др. // Журн. общ. химии. – 2008. – Т. 78, № 12. – С. 1999–2006.
11. Yang, M. Synthesis and Properties of Triarylhalostibonium Cations / M. Yang, F.P. Gabbai // Inorg. Chem. – 2017. – V. 56. – P. 8644–8650. DOI: 10.1021/acs.inorgchem.7b00293.
12. Bone, S.P. Phenylantimony(V) Fluoride Halides: Isolation and Crystal Structures of $SbPh_2Br_2F \cdot SbPh_2Br_3$, $(SbPh_2BrF)_2O$ and $SbPh_3Cl_{1.8}F_{0.2}$ / S.P. Bone, M.J. Begley, D.B. Sowerby // J. Chem. Soc., Dalton Trans. – 1992. – P. 2085–2091. DOI: 10.1039/DT9920002085.
13. Begley, M.J. Structures of Triphenylantimony(V) Dibromide and Dichloride / M.J. Begley, D.B. Sowerby // Acta Crystallogr., Sect. C: Cryst. Struct. Commun. – 1993. – V. 49. – P. 1044–1046. DOI: 10.1107/S0108270192011958.
14. Synthesis and Structure of Tri-*m*-tolylantimony Dichloride / V.V. Sharutin, O.K. Sharutina, I.I. Pavlushkina et al. // Russ. J. Gen. Chem. – 2000. – V. 70, № 8. – P. 1227–1228.
15. Mahalakshmi, H. X-ray Structures of Dichlorotri(pentafluorophenyl)antimony(V) and Dibromo-tri(pentafluorophenyl)antimony (V) / H. Mahalakshmi, V.K. Jain, E.R.T. Tiekkink // Main Group Met. Chem. – 2001. – V. 24. – P. 391. DOI: 10.1515/MGMC.2001.24.6.391.
16. Синтез и строение дихлорида три-*n*-толилсурьмы / В.В. Шарутин, О.К. Шарутина, А.П. Пакусина и др. // Журн. общ. химии. – 2002. – Т. 72, № 3. – С. 421–422.
17. Реакции *транс*-[OsO₂Cl₂L₂] (L = PPh₃, AsPh₃, SbPh₃) с уксусной кислотой / А.Н. Беляев, А.В. Еремин, С.А. Симонова и др. // Журнал прикладной химии. – 2002. – Т. 75, № 12. – С. 1947–1950.
18. MacDonald, D.J. A New Polymorph of Dichloridotriphenylantimony / D.J. MacDonald, M.C. Jennings, K.E. Preuss // Acta Crystallogr., Sect. C: Cryst. Struct. Commun. – 2010. – V. 66. – m137–m140. DOI: 10.1107/S010827011001437X.
19. Qiao, Y. *trans*-Tris(4-bromophenyl)dichloridoantimony(V) / Y. Qiao, J. Jiang, J. Cui // Act Crystallogr. Sect. E: Struct. Rep. Online. – 2012. – V. 68. – m1552. DOI: 10.1107/S160053681204809X.
20. Novel Tetranuclear Triarylantimony(V) Complexes with (±)-Mandelic Acid Ligands: Synthesis, Characterization, *in Vitro* Cytotoxicity and DNA Binding Properties / J. Jiang, H. Yin, F. Wang et al. // Dalton Trans. – 2013. – V. 42. – P. 8563–8566. DOI: 10.1039/C3DT50221J.
21. Синтез и строение дихлорида и дибромида *трис*(4-этилфенил)сурьмы (4-EtC₆H₄)₃SbCl₂ и (4-EtC₆H₄)₃SbBr₂ / П.В. Андреев, В.В. Шарутин, О.К. Шарутина, В.С. Сенчурина // Вестник ЮУрГУ. Серия «Химия». – 2017. – Т. 9, № 3. – С. 59–64. DOI: 10.14529/chem170307.

Физическая химия

22. Syntheses and Crystal Structures of Covalent Trialkylantimony Hydroxo Bromide and Relates Trialkilantimony(V) Halides / L. Balazs, H.J. Breunig, I. Chesher, E. Lork // J. Organomet. Chem. – 2002. – V. 648, № 1. – P. 33–38. DOI: 10.1016/S0022-328X(01)01467-X.
23. Webster, M. Dibromotriphenylantimony(V), a Second Polymorph / M. Webster // Acta Crystallogr., Sect. C: Cryst. Struct. Commun. – 1998. – V. 54. – P. 570–572. DOI: 10.1107/S0108270197018040.
24. Шарутин, В.В. Синтез, строение и реакции дибромида *триис(4-фторфенил)сурьмы* / В.В. Шарутин, О.К. Шарутина // Журн. общ. химии. – 2016. – Т. 86, № 8. – С. 1360–1365.
25. Синтез и строение дибромида три(*пара*-толил)сурьмы / В.В. Шарутин, О.К. Шарутина, А.П. Пакусина и др. // Коорд. химия. – 2002. – Т. 28, № 12. – С. 887–889.
26. Reactions of Dihalogenotriorgano-phosphorus, -Arsenic and -Antimony Compounds with $[Fe_2(CO)_9]$. Single-crystal Structures of the Iron(III) Complexes $[(Ph_3PO)_2H][FeBr_4]$ and $[Ph_4Sb][FeI_4] \cdot Ph_3SbI_2$ and of $[Fe(CO)_3(Ph_3P)_2]$ / H.P. Lane, S.M. Godfrey, C.A. McAuliffe, R.G. Pritchard // J. Chem. Soc. Dalton Trans. – 1994. – № 22. – P. 3249–3255. DOI: 10.1039/DT9940003249.
27. Solid-state Structures of Triaryllantimony Dihalides; the Isolation of Some Mixed-halide Species and Crystal Structures of Ph_3SbI_2 and $[Ph_4Sb]I_3$ / N. Bricklebank, S.M. Godfrey, H.P. Lane et al. // J. Chem. Soc. Dalton Trans. – 1994. – P. 1759–1763. DOI: 10.1039/DT9940001759.
28. Baker, L.-J. Structural Investigations of the Organoantimony(V) Halides Ph_4SbX and Ph_3SbX_2 ($X = Cl, Br$ or I) in the Solid State and in Solution / L.-J. Baker, C.E.F. Rickard, M.J. Taylor // J. Chem. Soc. Dalton Trans. – 1995. – P. 2895–2899. DOI: 10.1039/DT9950002895.
29. Кочешков, К.А. Методы элементоорганической химии. Сурьма, висмут / К.А. Кочешков, А.П. Сколдинов, Н.Н. Землянский. – М.: Наука, 1976. – 483 с.
30. Substituent-dependent Reactivity of Triaryllantimony(III) Toward I_2 : Isolation of $[R_3SbI]^+$ Salt / V.V. Sharutin, O.K. Sharutina, S.A. Adonin, A.S. Novikov // New J. Chem. – 2020. – V. 44. – P. 14339–14342. DOI: 10.1039/D0NJ02774J.
31. Improved Methods for the Synthesis of Antimony Triacetate, Triphenylantimonyl Diacetate and Pentaphenyllantimony / T.C. Thepe, R.J. Garascia, M.A. Selvoski et al. // OhioJ. Sci. – 1977. – V. 77, № 3. – P. 134–135.
32. Синтез и строение дикротоната трифенилсурьмы / А.В. Гущин, О.С. Калистратова, Р.А. Верховых и др. // Вестник Нижегородского университета им. Н.И. Лобачевского. – 2013. – № 1. – С. 86–90.
33. Синтез и строение *бис*(1-адамантанкарбоксилата)трифенилсурьмы / В.В. Шарутин, О.К. Шарутина, А.П. Пакусина и др. // Журн. неорган. химии. – 2008. – Т. 53, № 8. – С. 1335–1341.
34. Experimental Study of Electron Density Distribution in Crystals of Antimony(V) Dicarboxylate Complexes / G.K. Fukin, M.A. Samsonov, O.S. Kalistratova et al. // Struct. Chem. – 2016. – V. 27, № 1. – P. 357–365. DOI: 10.1007/s11224-015-0604-x.
35. Синтез и строение *бис*(1-адамантанкарбоксилата) три-*m*-толилсурьмы / В.В. Шарутин, О.К. Шарутина, В.С. Сенчурик и др. // Журн. неорган. химии. – 2011. – Т. 56, № 7. – С. 1125–1128.
36. Синтез и особенности строения *бис*(циклогексанкарбоксилата) *триис*(5-бром-2-метоксифенил)сурьмы / В.В. Шарутин, О.К. Шарутина, В.С. Сенчурик и др. // Журн. общ. химии. – 2012. – Т. 82, № 10. – С. 1646–1649.
37. Синтез и особенности строения *бис*(2-нитробензоата) *триис*(5-бром-2-метоксифенил)сурьмы / В.В. Шарутин, В.С. Сенчурик, О.К. Шарутина и др. // Коорд. химия. – 2011. – Т. 37, № 10. – С. 782–785.
38. Шарутин, В.В. Синтез и строение *бис*(моногалогенацетатов) *триис*(5-бром-2-метоксифенил)сурьмы / В.В. Шарутин, О.К. Шарутина, Д.С. Толстогузов // Журн. общ. химии. – 2014. – Т. 84, № 9. – С. 1516–1522.
39. Шарутин, В.В. Синтез и особенности строения дикарбоксилатов *триис*(5-бром-2-метоксифенил)сурьмы / В.В. Шарутин, О.К. Шарутина, В.С. Сенчурик // Журн. неорган. химии. – 2014. – Т. 59, № 4. – С. 481–486.
40. Синтез и строение дикарбоксилатов и диароксидов *триис*(4-*N,N*-диметиламинофенил)сурьмы(V) / В.В. Шарутин, В.С. Сенчурик, О.К. Шарутина и др. // Журн. неорган. химии. – 2011. – Т. 56, № 7. – С. 1129–1135.

41. Синтез и строение бис(4-метилбензоата) *трис*(4-N,N-диметиламинофенил)сурьмы / Б.В. Шарутин, В.С. Сенчурин, О.К. Шарутина и др. // Журн. общ. химии. – 2011. – Т. 81, № 11. – С. 1789–1792.
42. Шарутин, В.В. Синтез и строение дифталата трифенилсурьмы / В.В. Шарутин, О.К. Шарутина, В.С. Сенчурин // Журн. неорган. химии. – 2014. – Т. 59, № 9. – С. 1178–1181. DOI: 10.7868/S0044457X14090177.
43. Шарутин, В.В. Синтез и строение фенилпропионатов тетра- и трифенилсурьмы / В.В. Шарутин, О.К. Шарутина, А.Р. Котляров // Журн. неорган. химии. – 2015. – Т. 60, № 4. – С. 525–528. DOI: 10.7868/S0044457X15040236.
44. Шарутин, В.В. Синтез и строение 4-оксибензоатовтетра- и трифенилсурьмы / В.В. Шарутин, О.К. Шарутина, В.С. Сенчурин // Журн. неорган. химии. – 2014. – Т. 59, № 9. – С. 1182–1186. DOI: 10.7868/S0044457X14090189.
45. Шарутин, В.В. Синтез и строение пропиолатов три- и тетрафенилсурьмы / В.В. Шарутин, О.К. Шарутина, В.С. Сенчурин // Коорд. химия. – 2014. – Т. 40, № 2. – С. 108–112. DOI: 10.7868/S0132344X14020108.
46. Синтез и строение диакрилата трифенилсурьмы / А.В. Гущин, Л.К. Пряткова, Д.В. Шашкин и др. // Вестник Нижегородского университета им. Н.И. Лобачевского. – 2010. – № 1. – С. 95–99.
47. Experimental and Theoretical Distribution of Electron Density and Thermopolimerization in Crystals of Ph₃Sb(O₂CCH=CH₂)₂ Complex / G.K. Fukin, M.A. Samsonov, A.V. Arapova et al. // J. Solid State Chem. – 2017. – V. 254. – P. 32–39. DOI: 10.1016/j.jssc.2017.06.030
48. Шарутин, В.В. Синтез и строение дикарбоксилатов *трис*(4-фторфенил)сурьмы: (4-FC₆H₄)₃Sb[OC(O)R]₂, R = CH₂I, C₆F₅ / В.В. Шарутин, О.К. Шарутина // Изв. АН. Серия хим. – 2017. – № 4. – С. 707–710. DOI: 10.1007/s11172-017-1796-6
49. Шарутин, В.В. Дикарбоксилаты *трис*(4-фторфенил)сурьмы(4-FC₆H₄)₃Sb[OC(O)R]₂, R = C₁₀H₁₅, C₃H₅-цикло) / В.В. Шарутин, О.К. Шарутина, А.Н. Ефремов // Журн. неорган. химии. – 2016. – Т. 61, № 1. – С. 46–50. DOI: 10.7868/S0044457X16010232.
50. Шарутин, В.В. Синтез и строение дикарбоксилатов *трис*(4-фторфенил)сурьмы / В.В. Шарутин, О.К. Шарутина // Журн. общ. химии. – 2016. – Т. 86, № 8. – С. 1366–1370.
51. Синтез и строение дикарбоксилатов *трис*(3-фторфенил)сурьмы: (3-FC₆H₄)₃Sb[OC(O)R]₂, R = C₆H₃(NO₂)₂-3,5, CH₂Br, CH₂Cl, CH=CHPh) / В.В. Шарутин, О.К. Шарутина, А.Н. Ефремов и др. // Коорд. химия. – 2018. – Т. 44, № 5. – С. 333–339. DOI: 10.1134/S0132344X18050109.
52. Синтез и строение дикарбоксилатов *трис*(3-фторфенил)сурьмы: (3-FC₆H₄)₃Sb[OC(O)R]₂ (R = CH₂Cl, Ph, CH₂C₆H₄NO₂-4, C₁₀H₁₅) / В.В. Шарутин, О.К. Шарутина, Р.В. Решетникова и др. // Журн. неорган. химии. – 2017. – Т. 62, № 11. – С. 1457–1463. DOI: 10.7868/S0044457X17110058.
53. Бацанов, С.С. Атомные радиусы элементов / С.С. Бацанов // Журн. неорган. химии. – 1991. – Т. 36, № 12. – С. 3015–3037.
54. Cambridge Crystallographic Data Center, 2020.

Шарутин Владимир Викторович – доктор химических наук, главный научный сотрудник управления научной и инновационной деятельности, Южно-Уральский государственный университет. 454080, г. Челябинск, проспект Ленина, 76. E-mail: sharutin50@mail.ru.

Поступила в редакцию 6 июля 2020 г.

STRUCTURE OF ORGANOANTIMONY COMPOUNDS $[C_5H_4Mn(CO)_3]Sb$, $(4-Me_2NC_6H_4)_3SbI_2$, $Ph_3Sb[OC(O)C_6H_3(NO_2)_2-3,5]_2$, $(3-MeC_6H_4)_3Sb[OC(O)C_6H_3(NO_2)_2-3,5]_2 \cdot PhH$, AND $(3-FC_6H_4)_3Sb[OC(O)C_6H_3(NO_2)_2-3,5]_2 \cdot PhH$

V.V. Sharutin, sharutin50@mail.ru

South Ural State University, Chelyabinsk, Russian Federation

The structure of five organoantimony compounds $[C_5H_4Mn(CO)_3]Sb$ (**1**), $(4-Me_2NC_6H_4)_3SbI_2$ (**2**), $Ph_3Sb[OC(O)C_6H_3(NO_2)_2-3,5]_2$ (**3**), $(3-MeC_6H_4)_3Sb[OC(O)C_6H_3(NO_2)_2-3,5]_2 \cdot PhH$ (**4**), and $(3-FC_6H_4)_3Sb[OC(O)C_6H_3(NO_2)_2-3,5]_2 \cdot PhH$ (**5**) was determined by X-ray diffraction analysis. X-ray diffraction of the compounds was carried out on an automatic four-circle diffractometer D8 Quest Bruker (MoK_α , $\lambda = 0.71073 \text{ \AA}$, 293 K). $[C_5H_4Mn(CO)_3]Sb$ (**1**), crystal size $0.53 \times 0.4 \times 0.22 \text{ mm}$, $R-3$, $a = 19.221(6)$, $b = 19.221(6)$, $c = 11.935(4) \text{ \AA}$, $\alpha = 90.00$, $\beta = 90.00$, $\gamma = 120.00 \text{ deg.}$, $V = 3818.6(17) \text{ \AA}^3$, $Z = 2$, $R_1 = 0.0484$, $wR_2 = 0.0900$. $(4-Me_2NC_6H_4)_3SbI_2$ (**2**), crystal size $0.26 \times 0.19 \times 0.16 \text{ mm}$, $Ia-3$, $a = 22.238(13)$, $b = 22.238(13)$, $c = 22.238(13) \text{ \AA}$, $\alpha = 90.00$, $\beta = 90.00$, $\gamma = 90.00 \text{ deg.}$, $V = 10997(19) \text{ \AA}^3$, $Z = 48$, $R_1 = 0.0372$, $wR_2 = 0.0855$. $Ph_3Sb[OC(O)C_6H_3(NO_2)_2-3,5]_2$ (**3**), crystal size $0.39 \times 0.29 \times 0.19 \text{ mm}$, $P-1$, $a = 11.985(8)$, $b = 12.186(7)$, $c = 14.292(10) \text{ \AA}$, $\alpha = 72.30(3)$, $\beta = 69.64(3)$, $\gamma = 61.79(3) \text{ deg.}$, $V = 1699.8(19) \text{ \AA}^3$, $Z = 2$, $R_1 = 0.0388$, $wR_2 = 0.1246$. $(3-MeC_6H_4)_3Sb[OC(O)C_6H_3(NO_2)_2-3,5]_2 \cdot PhH$ (**4**), crystal size $0.2 \times 0.17 \times 0.07 \text{ mm}$, $P-1$, $a = 12.654(8)$, $b = 13.217(9)$, $c = 14.672(13) \text{ \AA}$, $\alpha = 64.42(3)$, $\beta = 79.73(3)$, $\gamma = 65.66(2) \text{ deg.}$, $V = 2017(3) \text{ \AA}^3$, $Z = 2$, $R_1 = 0.0350$, $wR_2 = 0.0870$. $(3-FC_6H_4)_3Sb[OC(O)C_6H_3(NO_2)_2-3,5]_2 \cdot PhH$ (**5**), crystal size $0.55 \times 0.4 \times 0.19 \text{ mm}$, $P-1$, $a = 12.34(3)$, $b = 12.95(2)$, $c = 14.41(2) \text{ \AA}$, $\alpha = 81.73(6)$, $\beta = 66.94(10)$, $\gamma = 66.31(7) \text{ deg.}$, $V = 1940(6) \text{ \AA}^3$, $Z = 2$, $R_1 = 0.0721$, $wR_2 = 0.1558$.

Keywords: structure, organic, compound, antimony, X-ray diffraction analysis.

References

- Sharutin V.V. *Imennye reakcii v khimii elementoorganicheskikh soedineniy* [Nominal reactions in the chemistry of organoelement compounds]. Chelyabinsk, South Ural St. Univ. Publ., 2011. 427 p.
- Bruker. SMART and SAINT-Plus. Versions 5.0. Data Collection and Processing Software for the SMART System. Bruker AXS Inc., Madison, Wisconsin, USA, 1998.
- Bruker. SHELXTL/PC. Versions 5.10. An Integrated System for Solving, Refining and Displaying Crystal Structures From Diffraction Data. Bruker AXS Inc., Madison, Wisconsin, USA, 1998.
- Dolomanov O.V., Bourhis L.J., Gildea R.J., Howard J.A.K., Puschmann H. OLEX2: a Complete Structure Solution, Refinement and Analysis Program. *J. Appl. Cryst.*, 2009, vol. 42, pp. 339–341. DOI: 10.1107/S0021889808042726.
- Saf'yanov Yu.N., Kuz'min E.A., Sharutin V.V. [Molecular and Crystal Structure of Tricymanthrenylantimony Dibromide]. *Crystallogr. Rep.* 1984, vol. 29, no. 5, pp. 928–930. (in Russ.).
- Sharutin V.V., Bychkov V.T., Saf'yanov Yu.N., Kuz'min E.A., Zaharova R.P. [Reactions of tricimantreneantimony and tricimantrenylbismuth with CuX₂ (X=Cl, Br)]. *Russ. J. Gen. Chem.*, 1985, vol. 55, no. 7, pp. 1652–1653. (in Russ.).
- Hendershot D.G., Pazik J.C., George C., Berry A.D. Synthesis and Characterization of Neopentyl- and [(Trimethylsilyl)methyl]antimony Compounds. Molecular Structures of $(Me_3CCH_2)_3Sb$, $(Me_3CCH_2)_3SbI_2$, $(Me_3SiCH_2)_3Sb$ and $(Me_3SiCH_2)_3SbI_2$. *Organometallics*, 1992, vol. 11, no. 6, pp. 2163–2168. DOI: 10.1021/om000042a003.
- Sharutin V.V., Sharutina O.K., Senchurin V.S., Andreev P.V. Reactions of Tricymantrenylantimony with Halogens. Synthesis and Structure of Tricymantrenylantimony Dihydroxide. *Russ. J. Gen. Chem.*, 2018, vol. 88, no. 5, pp. 1049–1052. DOI: 10.1134/S1070363218050353.
- Chehlov A.N. [Crystal Structure of Difluorotriphenylantimony with Unusual Intramolecular Hydrogen Bonds C-H…F]. *Reports of USSR Academy of Sciences*, 1993, vol. 328, no. 2, pp. 205–208. (in Russ.).

10. Sharutin V.V., Sharutina O.K., Senchurin V.S., Akulova E.V. Synthesis and Structure of *Tris*(4-N,N-dimethylaminophenyl)antimony(V) Difluoride, Dichloride, and Dibenzoate. *Russ. J. Gen. Chem.*, 2008, vol. 78, no. 12, pp. 2344–2352. DOI: 10.1134/S1070363208120098.
11. Yang M., Gabbai F.P. Synthesis and Properties of Triarylhalostibonium Cations. *Inorg. Chem.*, 2017, vol. 56, pp. 8644–8650. DOI: 10.1021/acs.inorgchem.7b00293.
12. Bone S.P., Begley M.J., Sowerby D.B. Phenylantimony(V) Fluoride Halides: Isolation and Crystal Structures of $SbPh_2Br_2F \cdot SbPh_2Br_3$, $(SbPh_2BrF)_2O$ and $SbPh_3Cl_{1.8}F_{0.2}$. *J. Chem. Soc., Dalton Trans.*, 1992, pp. 2085–2091. DOI: 10.1039/DT9920002085.
13. Begley M.J., Sowerby D.B. Structures of Triphenylantimony(V) Dibromide and Dichloride. *Acta Crystallogr., Sect. C: Cryst. Struct. Commun.*, 1993, vol. 49, pp. 1044–1046. DOI: 10.1107/S0108270192011958.
14. Sharutin V.V., Sharutina O.K., Pavlushkina I.I., Senchurin V.S., Bel'skii V.K. Synthesis and Structure of Tri-*m*-tolylantimony Dichloride. *Russ. J. Gen. Chem.*, 2000, vol. 70, no. 8, pp. 1227–1228.
15. Mahalakshmi H., Jain V.K., Tiekkink E.R.T. X-ray Structures of Dichlorotri(pentafluorophenyl)antimony(V) and Dibromotri(pentafluorophenyl)antimony (V). *Main Group Met. Chem.*, 2001, vol. 24, pp. 391. DOI: 10.1515/MGMC.2001.24.6.391
16. Sharutin V.V., Sharutina O.K., Pakusina A.P., Platonova T.P., Belsky V.K.. Synthesis and Structure of Tri(*p*-tolyl)antimony Dichloride. *Russ. J. Gen. Chem.*, 2000, vol. 72, no. 3, pp. 393–393. DOI: 10.1023/A:1015491517061.
17. Belyaev A.N., Eremin A.V., Simanova S.A., Evreinova N.V. Reactions of *trans*-[OsO₂Cl₂L₂] (L = PPh₃, AsPh₃, SbPh₃) with Acetic Acid. *Russ. J. Appl. Chem.*, 2002. vol. 75, pp. 1947. DOI: 10.1023/A:1023366810613.
18. Mac Donald D.J., Jennings M.C., Preuss K.E. A New Polymorph of Dichloridotriphenylantimony. *Acta Crystallogr., Sect. C: Cryst. Struct. Commun.*, 2010, vol. 66, pp. m137–m140. DOI: 10.1107/S010827011001437X.
19. Qiao Y., Jiang J., Cui J. *trans-Tris*(4-bromophenyl)dichloridoantimony(V). *Acta Crystallogr., Sect. E: Struct. Rep. Online.*, 2012, vol. 68, pp. m1552. DOI: 10.1107/S160053681204809X.
20. Jiang J., Yin H., Wang F., Han Z., Wang F., Cheng S., Hong M. Novel Tetranuclear Triaryllantimony(V) Complexes with (\pm)-Mandelic Acid Ligands: Synthesis, Characterization, *in Vitro* Cytotoxicity and DNA Binding Properties. *Dalton Trans.*, 2013, vol. 42, pp. 8563–8566. DOI: 10.1039/C3DT50221J.
21. Andreev P.V., Sharutin V.V., Sharutina O.K., Senchurin V.S. Synthesis and Structure of *Tris*(4-ethylphenyl)antimony Dichloride and *Tris*(4-ethylphenyl)antimony Dibromide (4-EtC₆H₄)₃SbCl₂ and (4-EtC₆H₄)₃SbBr₂. *Bulletin of South Ural State University. Ser. Chem.*, 2017, vol. 9, no. 3, pp. 59–64. DOI: 10.14529/chem170307.
22. Balazs L., Breunig H.J., Chesher I., Lork E. Syntheses and Crystal Structures of Covalent Trialkylantimony Hydroxo Bromide and Relates Trialkylantimony(V) Halides. *J. Organomet. Chem.*, 2002, vol. 648, no. 1, pp. 33–38. DOI: 10.1016/S0022-328X(01)01467-X.
23. Webster M. Dibromotriphenylantimony(V), a Second Polymorph. *Acta Crystallogr., Sect. C: Cryst. Struct. Commun.*, 1998, vol. 54, pp. 570–572. DOI: 10.1107/S0108270197018040.
24. Sharutin V.V., Sharutina O.K. Synthesis, Structure and Reactions of *Tris*(4-fluorophenyl)antimony Dibromide. *Russ. J. Gen. Chem.*, 2016, vol. 86, no. 8, pp. 1896–1901. DOI: 10.1134/S1070363216080193.
25. Sharutin V.V., Sharutina O.K., Pakusina A.P., Platonova T.P., Gerasimenko A.V., Sergienko A.S. Synthesis and Structure of Tri-*p*-tolylantimony Dibromide. *Russ. J. Coord. Chem.*, 2002, vol. 28, no. 12, pp. 831–833. DOI: 10.1023/A:1021674010337.
26. Lane H.P., Godfrey S.M., McAuliffe C.A., Pritchard R.G. Reactions of Dihalogenotriorganophosphorus, -Arsenic and -Antimony Compounds with [Fe₂(CO)₉]. Single-crystal Structures of the Iron(III) Complexes [(Ph₃PO)₂H][FeBr₄] and [Ph₄Sb][FeI₄]·Ph₃SbI₂ and of [Fe(CO)₃(Ph₃P)₂]. *J. Chem. Soc. Dalton Trans.*, 1994, no. 22, pp. 3249–3255. DOI: 10.1039/DT9940003249.
27. Bricklebank N., Godfrey S.M., Lane H.P., McAuliffe C.A., Pritchard R.G. Solid-state Structures of Triaryllantimony Dihalides; the Isolation of Some Mixed-halide Species and Crystal Structures of Ph₃SbI₂ and [Ph₄Sb]I₃. *J. Chem. Soc. Dalton Trans.*, 1994, pp. 1759–1763. DOI: 10.1039/DT9940001759.

Физическая химия

28. Baker L.-J., Rickard C.E.F., Taylor M.J. Structural Investigations of the Organoantimony(V) Halides Ph_4SbX and Ph_3SbX_2 (X = Cl, Br or I) in the Solid State and in Solution. *J. Chem. Soc. Dalton Trans.*, 1995, pp. 2895–2899. DOI: 10.1039/DT9950002895.
29. Kocheshkov K.A., Skoldinov A.P., Zemlyanskii N.N. *Metody elementoorganicheskoy khimii. Sur'ma, vismut.* [Methods of Organometallic Chemistry. Antimony, Bismuth]. Moscow, Nauka Publ., 1976, 483 p. (in Russ.).
30. Sharutin V.V., Sharutina O.K., Adonin S.A., Novikov A.S. Substituent-dependent Reactivity of Triarylantimony(III) Toward I₂: Isolation of $[\text{R}_3\text{SbI}]^+$ Salt. *New J. Chem.*, 2020, vol. 44, pp. 14339–14342. DOI: 10.1039/D0NJ02774J.
31. Thepe T.C., Garascia R.J., Selvoski M.A. Improved Methods for the Synthesis of Antimony Triacetate, Triphenylantimony Diacetate and Pentaphenylantimony. *Ohio J. Sci.*, 1977, vol. 77, no. 3, pp. 134–135.
32. Gushchin A.V., Kalistratova O.S., Verkhovykh R.A., Somov N.V., Shashkin D.V., Dodonov V.A. [Synthesis and Structure of Triphenylantimony Dicrotonate]. *Vestnik of Lobachevsky University of Nizhniy Novgorod*, 2013, no. 1, pp. 86–90. (in Russ.)
33. Sharutin V.V., Pakusina A.P., Sharutina O.K., Molokova O.V., Nevmeskina L.A., Senchurin V.S.. Bis(1-adamantanecarboxylato)triphenylantimony: Synthesis and Structure. *Russ. J. Neorg. Chem.*, 2008, vol. 53, no. 8, pp. 1242–1248. DOI: 10.1134/S0036023608080160.
34. Fukin G.K., Samsonov M.A., Kalistratova O.S. Experimental Study of Electron Density Distribution in Crystals of Antimony(V) Dicarboxylate Complexes. *Struct. Chem.*, 2016, vol. 27, no. 1, pp. 357–365. DOI: 10.1007/s11224-015-0604-x.
35. Sharutin V.V., Sharutina O.K., Senchurin V.S., Pakusina A.P., Smirnova S.A. Synthesis and Structure of Tri-m-tolylantimony Bis(1-adamantanecarboxylate). *Russ. J. Neorg. Chem.*, 2011, vol. 56, no. 7, pp. 1060–1063. DOI: 10.1134/S0036023611070242.
36. Sharutin V.V., Sharutina O.K., Senchurin V.S., Chagarova O.V. Synthesis and Structural Features of *Tris*(5-bromo-2-methoxyphenyl)antimony Bis(cyclopropanecarboxylate). *Russ. J. Gen. Chem.*, 2012, vol. 82, no. 10, pp. 1665–1668. DOI: 10.1134/S1070363212100064.
37. Sharutin V.V., Senchurin V.S., Sharutina O.K., Chagarova O.V., Zelevets L.E. *Tris*(2-methoxy-5-bromophenyl)antimony Bis(2-nitrobenzoate): Synthesis and Specific Features of the Structure. *Russ. J. Coord. Chem.*, 2011, vol. 37, no. 10, pp. 781–786. DOI: 10.1134/S1070328411090089.
38. Sharutin V.V., Sharutina O.K., Tolstoguzov D.S. Synthesis and Structure of Bis(monohaloacetates) of *Tris*(5-bromo-2-methoxyphenyl)antimony. *Russ. J. Gen. Chem.*, 2014, vol. 84, no. 9, pp. 1754–1760. DOI: 10.1134/S1070363214090199.
39. Sharutin V.V., Sharutina O.K., Senchurin V.S. Synthesis and Structural Features of *Tris*(5-bromo-2-methoxyphenyl)antimony Dicarboxylates. *Russ. J. Neorg. Chem.*, 2014, vol. 59, no. 4, pp. 326–331. DOI: 10.1134/S0036023614040202.
40. Shaturin V.V., Senchurin V.S., Shaturina O.K., Chagarova O.V. Synthesis and Structure of *Tris*(4-N,N-dimethylaminophenyl) Antimony(V) Dicarboxylates and Diaroxides. *Russ. J. Inorg. Chem.*, 2011, vol. 56, no. 7, pp. 1064–1070. DOI: 10.1134/S0036023611070254.
41. Sharutin V.V., Senchurin V.S., Sharutina O.K., Chagarova O.V. Synthesis and Structure of *Tris*(4-N,N-dimethylaminophenyl)antimony Bis(4-methyl benzoate). *Russ. J. Gen. Chem.*, 2011, vol. 81, no. 11, pp. 2242–2245. DOI: 10.1134/s1070363211110053.
42. Sharutin V.V., Sharutina O.K., Senchurin V.S. Synthesis and Structure of Triphenylantimony Diphthalate. *Russ. J. Inorg. Chem.*, 2014, vol. 59, no. 9, pp. 947–950. DOI: 10.1134/S0036023614090162.
43. Sharutin V.V., Sharutina O.K., Kotlyarov A.R. Synthesis and Structure of Tetra- and Triphenylantimony Phenylpropiolates. *Russ. J. Inorg. Chem.*, 2015, vol. 60, no. 4, pp. 465–468. DOI: 10.1134/S0036023615040221.
44. Sharutin V.V., Sharutina O.K., Senchurin S.V. Synthesis and Structure of Tetraphenylantimony and Triphenylantimony 4-Oxybenzoates. *Russ. J. Inorg. Chem.*, 2014, vol. 59, no. 9, pp. 951–955. DOI: 10.1134/S0036023614090174.
45. Sharutin V.V., Sharutina O.K., Senchurin V.S. Tri- and Tetraphenylantimony Propiolates: Syntheses and Structures. *Russ. J. Coord. Chem.*, 2014, vol. 40, no. 2, pp. 109–114. DOI: 10.1134/S1070328414020109.

46. Gushchin A.V., Prytkova L.K., Shashkin D.V., Dodonov V.A., Fukin G.K., Shavyrin A.S., Rykalin V.I. [Synthesis and Structure of Triphenylantimony Diakrylate]. *Vestnik of Lobachevsky University of Nizhni Novgorod*, 2010, no. 1, pp. 95–99. (in Russ.)
47. Fukin G.K., Samsonov M.A., Arapova A.V., Mazur A.S., Artamonova, T.O., Khodorkovskiy M.A., Vasilyev A.V. Experimental and Theoretical Distribution of Electron Density and Thermopolimerization in Crystals of $\text{Ph}_3\text{Sb}(\text{O}_2\text{CCH}=\text{CH}_2)_2$ Complex. *J. Solid State Chem.*, 2017, vol. 254, pp. 32–39. DOI: 10.1016/j.jssc.2017.06.030.
48. Sharutin V.V., Sharutina O.K. Synthesis and Structure of *Tris*(4-fluorophenylantimony) Dicarboxylates: $(4\text{-FC}_6\text{H}_4)_3\text{Sb}[\text{OC(O)R}]_2$, R = CH_2I , C_6F_5 . *Russ. Chem. Bull.*, 2017, vol. 66, no. 4, pp. 707–710. DOI: 10.1007/s11172-017-1796-6.
49. Sharutin V.V., Sharutina O.K., Efremov A.N. *Tris*(4-fluorophenyl)antimony Dicarboxylates ($4\text{-FC}_6\text{H}_4)_3\text{Sb}[\text{OC(O)R}]_2$, R = $\text{C}_{10}\text{H}_{15}$, or cyclo- C_3H_5 : Synthesis and Structure. *Russ. J. Inorg. Chem.*, 2016, vol. 61, no. 1, pp. 43–47. DOI: 10.1134/S003602361601023X.
50. Sharutin V.V., Sharutina O.K. Synthesis and Structure of *Tris*(4-fluorophenyl)antimony Dicarboxylates. *Russ. J. Gen. Chem.*, 2016, vol. 86, no. 8, pp. 1902–1906. DOI: 10.1134/s107036321608020x.
51. Sharutin V.V., Sharutina O.K., Efremov A.N., Andrreev P.V. [Synthesis and Structure of *Tris*(3-fluorophenyl)antimony Dicarboxylates: $(3\text{-FC}_6\text{H}_4)_3\text{Sb}[\text{OC(O)R}]_2$, R = $\text{C}_6\text{H}_3(\text{NO}_2)_2\text{-3,5}$, CH_2Br , CH_2Cl , $\text{CH}=\text{CHPh}$]]. *Russ. J. Coord. Chem.*, 2018, vol. 44, no. 5, pp. 333–339. DOI: 10.1134/S0132344X18050109.
52. Sharutin V.V., Sharutina O.K., Reshetnikova R.V., Lobanova E.V., Efremov A.N. *Tris*(3-fluorophenyl)antimony Dicarboxylates ($3\text{-FC}_6\text{H}_4)_3\text{Sb}[\text{OC(O)R}]_2$ (R = CH_2Cl , Ph, $\text{CH}_2\text{C}_6\text{H}_4\text{NO}_2\text{-4}$, $\text{C}_{10}\text{H}_{15}$): Synthesis and Structure. *Russ. J. Inorg. Chem.*, 2017, vol. 62, no. 11, pp. 1450–1457. DOI: 10.1134/S003602361711016X.
53. Batsanov S.S. [Atomic radiiuses of the elements]. *Russ. J. Inorg. Chem.*, 1991, vol. 36, no. 12, pp. 3015–3037. (in Russ.)
54. Cambridge Crystallographic Data Center, 2020.

Received 6 July 2020

ОБРАЗЕЦ ЦИТИРОВАНИЯ

Шарутин, В.В. Строение сурьмаорганических соединений $[\text{C}_5\text{H}_4\text{Mn}(\text{CO})_3]_3\text{Sb}$, $(4\text{-Me}_2\text{NC}_6\text{H}_4)_3\text{SbI}_2$, $\text{Ph}_3\text{Sb}[\text{OC(O)C}_6\text{H}_3(\text{NO}_2)_2\text{-3,5}]_2$, $(3\text{-MeC}_6\text{H}_4)_3\text{Sb}[\text{OC(O)C}_6\text{H}_3(\text{NO}_2)_2\text{-3,5}]_2\cdot\text{PhH}$ и $(3\text{-FC}_6\text{H}_4)_3\text{Sb}[\text{OC(O)C}_6\text{H}_3(\text{NO}_2)_2\text{-3,5}]_2\cdot\text{PhH}$ / В.В. Шарутин // Вестник ЮУрГУ. Серия «Химия». – 2020. – Т. 12, № 4. – С. 79–91. DOI: 10.14529/chem200405

FOR CITATION

Sharutin V.V. Structure of Organoantimony Compounds $[\text{C}_5\text{H}_4\text{Mn}(\text{CO})_3]_3\text{Sb}$, $(4\text{-Me}_2\text{NC}_6\text{H}_4)_3\text{SbI}_2$, $\text{Ph}_3\text{Sb}[\text{OC(O)C}_6\text{H}_3(\text{NO}_2)_2\text{-3,5}]_2$, $(3\text{-MeC}_6\text{H}_4)_3\text{Sb}[\text{OC(O)C}_6\text{H}_3(\text{NO}_2)_2\text{-3,5}]_2\cdot\text{PhH}$, and $(3\text{-FC}_6\text{H}_4)_3\text{Sb}[\text{OC(O)C}_6\text{H}_3(\text{NO}_2)_2\text{-3,5}]_2\cdot\text{PhH}$. *Bulletin of the South Ural State University. Ser. Chemistry*. 2020, vol. 12, no. 4, pp. 79–91. (in Russ.). DOI: 10.14529/chem200405